



بررسی ارتباط تغییرات آب‌های زیرزمینی و خشکسالی با استفاده از شاخص‌های SPI و GRI در دشت لردگان

سید عبدالرضا موسوی سردشتی^۱، کریم سلیمانی^۲، فاطمه شکریان^۳ و سیدحسین روشان^۴

۱- دانش آموخته کارشناسی ارشد آبخیزداری، گروه مهندسی آبخیزداری، دانشگاه علوم کشاورزی و منابع طبیعی ساری

۲- استاد گروه مهندسی آبخیزداری، دانشگاه علوم کشاورزی و منابع طبیعی ساری

۳- استادیار گروه مهندسی آبخیزداری، دانشگاه علوم کشاورزی و منابع طبیعی ساری (نویسنده مسؤول): f.shokrian@sanru.ac.ir

۴- دانشجوی دکتری علوم و مهندسی آبخیزداری، گروه مهندسی آبخیزداری، دانشگاه علوم کشاورزی و منابع طبیعی ساری

تاریخ دریافت: ۹۷/۱۱/۲۷ تاریخ پذیرش: ۹۸/۸/۲۰

صفحه: ۶۵ تا ۷۴

چکیده

منابع آب زیرزمینی به عنوان یکی از مهم‌ترین منابع تأمین آب مورد نیاز برای بخش‌های کشاورزی، شرب و صنعت در کشورمان از اهمیت زیادی برخوردار است. فعالیت‌های کشاورزی سهم بسیار بالایی در برداشت از سفره‌های آب زیرزمینی را به خود اختصاص داده است، به طوری که امروزه با برداشت بی‌رویه از این منابع آبخوان‌ها دچار تغییرات کمی و کیفی شده‌اند. هدف این مطالعه بررسی اثر خشکسالی هواشناسی بر روی تغییرات آب زیرزمینی در دشت لردگان واقع در استان چهارمحال و بختیاری می‌باشد. به این منظور ابتدا داده‌های مربوط به آب‌های زیرزمینی (۲۰ حلقه چاه پیزومتری) و داده‌های مربوط به بارش (۷) ایستگاه باران‌سنگی (این دشت از شرکت آب منطقه‌ای استان تهییه گردید). سپس با استفاده از آزمون‌های ران تست و کلوموگروف-اسمیرنوف، همگنی و نرم‌البودن داده‌ها بررسی شد. در ادامه به منظور پراورد شاخص بارش استاندارد (SPI) و شاخص منبع آب زیرزمینی (GRI) به ترتیب از نرم‌افزار DIP و فرمول نویسی در نرم‌افزار Excel استفاده گردید. نتایج این پژوهش نشان داد که شاخص منبع آب زیرزمینی (GRI) در اکثر سال‌ها در طبقه مالیم و متوسط بوده و کمتر شاهد خشکسالی‌های شدید و بسیار شدید هستیم. همچنین بر اساس شاخص بارندگی استاندارد شده (SPI) بیشتر خشکسالی‌ها نیز در طبقه مالیم و متوسط بوده است. بنابراین با توجه به دو شاخص SPI و GRI دشت مورد مطالعه خشکسالی هواشناسی و آب‌های زیرزمینی را تجربه کرده است. نفشه‌های مکانی خشکسالی هواشناسی و آب زیرزمینی به ترتیب نشان‌دهنده وقوع خشکسالی در قسمت‌های مرکزی و شرقی و همچنین شرق و شمال شرق دشت می‌باشد.

واژه‌های کلیدی: استان چهارمحال و بختیاری، دشت لردگان، خشکسالی هواشناسی، شاخص منبع آب زیرزمینی، منابع آب زیرزمینی

می‌دهند، اهمیت شناخت و بهره‌برداری بهینه و کارآمد از این منابع بیش از پیش روشن است. وضعیت جوی و زمین ساختی مناطق خشک، ساکنان این مناطق را محصور به افزایش بهره‌برداری از آب‌های زیرزمینی کرده است و اساس بسیاری از جوامع بشری بر آن استوار است و این منابع آبی از عوامل توسعه اقتصادی و اجتماعی مناطق خشک و نیمه خشک به حساب می‌آید (۱۵). آریته و همکاران (۱۰) در مطالعه‌ای در منطقه نیمه خشک مدیترانه برای بررسی خشکسالی SPI، SWI، SWI، SWI و SWI در بازه زمانی ۱۵ سال (۱۹۹۸-۲۰۱۲) استفاده کردند. آنها با اعتبارستنجدی این شاخص‌ها دریافتند که شاخص‌های SWI و SWI برای سه فصل دارای همبستگی هستند و ارتباط بین SPI و SWI بیشتر از ارتباط بین SPI و SWI در فصل پاییز و زمستان است. همچنین نتایج اعتبارستنجدی نشان می‌دهد که منطقه آسیب دیده از نظر خشکسالی بر اساس شاخص SWI با تولیدات غلات در این منطقه مرتبط است. اکرامی و همکاران (۹) ضمن بررسی دوره‌های متواتی خشکسالی هواشناسی و آب و زمین شناسی با استفاده از دو شاخص GRI و SPI در دشت یزد-اردکان، تأثیر زمانی بین رخداد خشکسالی هواشناسی و به دنبال آن خشکسالی آب و زمین شناسی را بررسی کردند. نتایج پژوهش آنها نشان دهنده

مقدمه

آب نقش مهمی در توسعه اجتماعی، اقتصادی و معیشت مردم دارد، بهویژه برای کشور ما که به دلیل قرار داشتن در ناحیه خشک و نیمه خشک، جزء کشورهایی است که مشکل کمبود منابع آب دارد. منابع آب زیرزمینی به عنوان یکی از اصلی‌ترین منابع تأمین آب مورد نیاز برای بخش‌های شرب، کشاورزی و صنعت، از اهمیت فراوانی برخوردار است که با خطرات متفاوتی نظیر افت سطح، کاهش میزان تعذیه به سبب کاهش بارندگی و خطر آلودگی توسط آلاینده‌های طبیعی و غیرطبیعی مواجه است (۶). کمبود منابع آب، تجربه خشکسالی‌های اخیر، افزایش جمعیت، آلودگی‌ها و بهره‌برداری بی‌رویه از منابع آب زیرزمینی باعث شده که نه تنها در زمینه کمیت بلکه در زمینه کیفیت هم اثرات منفی بسیار نگران کننده‌ی را ایجاد کند (۴). افزایش فعالیت‌های کشاورزی و صنعت باعث کاهش سطح آب‌های زیرزمینی و باعث بروز مشکلاتی مانند تغییر در کیفیت آب زیرزمینی، نشست زمین و افزایش هزینه‌های پمپاژ آب می‌باشد. مدیریت بهینه منابع آبی و حفظ و ارتقای کیفیت و کمیت آن‌ها نیازمند وجود داده‌های در زمینه موقعیت، مقدار و پراکنش آب در یک منطقه جغرافیایی معین می‌باشد (۱۶). با توجه به اینکه منابع آب زیرزمینی ۹۹ درصد از منابع آب‌های شیرین را تشکیل

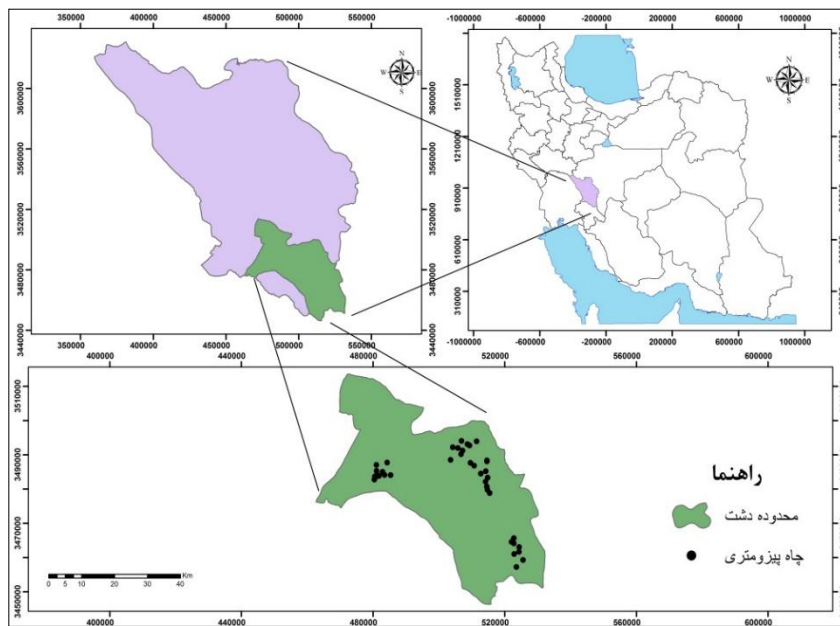
خشکسالی هواشناسی و تأثیر آن بر آبدی قنوات دشتی و کوهپایه‌ای بوده است. عزیزی (۵) به بررسی ارتباط بین همچنین افزایش میزان SAR در چاه شماره ۴ به ۲۷/۲۱ رسید. به لحاظ درجه سدیمی آب آبیاری کیفیت بسیار عالی داشت. بیان و همکاران (۷) در پژوهش خود به نظارت و پایش خشکسالی با شاخص‌های SPI و SWI و به کمک RS در آراوی هند پرداختند و نتایج این پژوهش با استفاده از نقشه‌ی خشکسالی با SWI نشان داد که موقعیت تنفس سفره‌ها از مکانی به مکان دیگر متفاوت است و تغییرات از سمت شرق به غرب و بالعکس بوده است. ساکریس و همکاران (۲۷) به ارزیابی خصوصیات شدت، مدت و بزرگی خشکسالی در یونان با سه شاخص SPI، RDI و DI پرداختند. نتایج این پژوهش نشان داد RDI رفتاری مانند SPI و گستردگی کمتری نسبت به شاخص DI دارد. در کل شاخص RDI به عنوان شاخص کارآمدی در ارزیابی خشکسالی معروف شد. مندیسینو و همکاران (۱۸) در پژوهش خود به بررسی پیش‌بینی خشکسالی در مناطق مدیترانه با استفاده از شاخص SPI و شاخص GRI^۳ برای نظارت این دو شاخص از نظر همستگی بین تراز آب زیرزمینی و بارش در ماههای مختلف پرداختند. نتایج نشان داد برای پیش‌بینی تراز منابع آب زیرزمینی شاخص GRI نسبت به شاخص SPI مناسب‌تر بوده است. خان و همکاران (۱۲) با استفاده از شاخص بارش استاندارد SPI برای مطالعه اثرات خشکسالی و بارندگی روی تراز آب زیرزمینی در ۳ ناحیه زیر آبیاری در حوزه ماری‌دارلین استرالیا استفاده کردند که نتایج نشان داد، همستگی زیادی بین شاخص SPI و تغییرات تراز آب زیرزمینی در منطقه وجود دارد و به واسطه آن می‌توان در استرالیا الگوی خشکسالی‌های اصلی را تعیین نمود. کیم و همکاران (۱۴) در پژوهش خود به ارزیابی شدت خشکسالی با استفاده از شاخص‌های EDI و SPI بر اساس داده‌های بیش از ۲۰۰ سال (۱۸۰۷-۲۰۰۶) در پایخت کشور کره جنوبی پرداختند. نتایج به دست آمده نشان می‌دهد که EDI کارآمدتر از SPI در برآورده میزان خشکسالی کوتاه مدت و بلند مدت است. زانگ و همکاران (۲۹) در پژوهشی با عنوان اثرات خشکسالی بر دریاچه پویانگ و یانگ تسه در حوزه پویانگ با استفاده از روش SPI و EOF^۴ در بازه زمانی ۱۹۵۶ تا ۲۰۰۹ پرداختند. نتایج بررسی‌ها نشان داد که خشکسالی‌های شدید در حوزه در طول ۶۰ سال گذشته باعث کاهش دبی ۵ شاخه‌ی پایین دست رودخانه به دریاچه پویانگ شده است و مدت خشکسالی‌های شدید در دریاچه پویانگ و یانگ تسه هزمان با آبگیری سد تریجورج علت اصلی کاهش حجم آب در حوزه دریاچه پویانگ بوده است. در شهرستان لردگان خشک شدن منابع آب زیرزمینی مانند چاهها، چشمه‌ها و قنات‌ها، آب را در این شهرستان به یک بحران تبدیل کرده است بطوری که سطح آب‌های زیرزمینی در ۱۰ سال گذشته در این شهرستان ۱۵ متر افت کرده است. بر همین اساس با توجه به عوامل ذکر شده، هدف این پژوهش بررسی ارتباط تغییرات کیفیت و کیمیت آب زیرزمینی و خشکسالی در دشت لردگان با استفاده از شاخص SPI و GRI می‌باشد.

شدت و تداوم خشکسالی‌ها بویژه خشکسالی آب و زمین شناسی در سال‌های اخیر و وجود تأخیرزمانی بین وقوع خشکسالی‌های اخیر و منابع آب زیرزمینی از داده‌های بارش و آب‌های زیرزمینی در دشت قزوین پرداخت. نتایج حاصل از این پژوهش نشان داد که در آب‌های زیرزمینی با دو تا سه ماه تأخیر خشکسالی نسبت به خشکسالی‌های اقلیمی خود را نشان داده است. اکبری و همکاران (۳) افت سطح ایستایی آب زیرزمینی در قسمت‌های مرکزی و غربی آبخوان به مقدار ۳۰ متر افت داشته است. عوامل کاهش آب زیرزمینی برداشت بی‌رویه، افزایش سطح زیرکشت، خشکسالی و افزایش جمعیت ذکر گردید. شکیبا و همکاران (۲۵) به بررسی اثر خشکسالی بر منابع آب زیرزمینی در قسمت شرقی استان کرمانشاه با استفاده از شاخص SPI پرداختند. نتایج حاکی از آن بود که تمام ایستگاه‌های مورد استفاده در منطقه با خشکسالی روبرو شده بودند و از بین معیارهای مورد توجه شاخص SPI شاخص مناسب‌تری نشان داد و وضعیت خشکسالی در بخش شرقی کرمانشاه و شاخص تقریباً مناسبی برای بررسی اثر خشکسالی بر منابع آبی زیرزمینی بود. محمدی و همکاران (۲۰) به بررسی توزیع مکانی خشکسالی با دو شاخص استاندارد بارش SPI^۵ و SWI در دشت اراک پرداختند و نتایج نشان داد که خشکسالی در مناطق شرق و خشکسالی آب‌های زیرزمینی در غرب منطقه اتفاق افتاده و نیز خشکسالی هواشناسی دارای روند مشخص نبوده در صورتی که خشکسالی آب‌های زیرزمینی در بعضی نواحی با تنفس بارشی و یا به فعالیت‌های انسانی واپس‌بوده است. بهشتی راد (۶) در پژوهش خود با عنوان پیش‌بینی خشکسالی با استفاده از شاخص DI و پهنه‌بندی با روش‌های زمین‌آمار در استان کرمان پرداخت. نتایج این پژوهش نشان داد که شدیدترین خشکسالی‌ها بر اساس شاخص دهک‌ها در سال‌های ۷۹ و ۷۸ رخ داد و در تعیین وضعیت خشکسالی منطقه شاخص دهک‌ها کارایی بالای داشت. روشان و حبیب‌نژاد روشان (۲۴) در دشت ساری به نکا با به کارگیری شاخص‌های سطح آب استاندارد SWI و منبع آب زیرزمینی GRI^۶ به بررسی تغییرات مکانی و زمانی خشکسالی آب‌های زیرزمینی پرداختند. نتایج نشان داد که در شاخص GRI شدیدترین مقدار خشکسالی مربوط به بازی زمانی ۳ ماهه در شهریور ماه ۱۳۹۴ که مقدارش ۳/۹۳ و در شاخص SWI مهرماه ۱۳۹۴ با مقدار ۴/۸۶ بود. به لحاظ تغییرات مکانی خشکسالی در قسمت‌های شمالی رخ داده که مربوط به مرداد ۱۳۸۴ بوده است. براساس نقشه‌های پهنه‌بندی مرداد ماه بیشترین مقدار و بهمن ماه کمترین میزان پهنه خشکسالی را دارا بودند، که عامل آن برداشت افراطی از ذخایر آب زیرزمینی می‌باشد. قوه محدود و همکاران (۱۱) به بررسی پهنه‌بندی بعضی از پارامترهای کیفیت آب زیرزمینی در جهت مصارف کشاورزی در دشت سیدان فاروق پرداختند و ۱۲ حلقه چاه را مورد آنالیز شیمیایی قرار دادند. نتایج به این صورت بود که در اکثر دشت، به لحاظ کشاورزی آب دارای شوری اندک و کیفیت مطلوبی می‌باشد.

توپوگرافی قسمت‌های شمالی این منطقه با ارتفاع کمتر از ۲۰۰۰ متر می‌باشد و مناطق مرتفع آن بیش از ۳۰۰۰ متر در جهت شمال غربی – جنوب شرقی است. شکل (۱) موقعیت جغرافیایی منطقه مورد مطالعه را نشان می‌دهد. میانگین دمای سالانه شهرستان ۱۵ درجه سانتی‌گراد و متوسط بارندگی سالانه ۵۵۰ میلی‌متر است و در روش طبقه‌بندی اقلیمی دمازنون نوع اقلیم لردگان نیمه مرطوب معتدل با زمستان‌های نیمه سرد است.

مواد و روش‌ها منطقه مورد مطالعه

شهرستان لردگان با مساحت ۳۴۲۰ کیلومتر مربع معادل ۸/۲۰ درصد از وسعت استان چهارمحال و بختیاری را شامل می‌شود و از نظر موقعیت جغرافیایی این منطقه در طول شرقی' ۴۹° تا ۳۴° ۵۰° و عرض شمالی' ۵۵° تا ۳۰° قرار گرفته است. این منطقه با ارتفاع متوسط ۱۷۰۰ متر از سطح آزاد دریا در روشه کوه زاگرس قرار دارد و از لحاظ



شکل ۱- موقعیت جغرافیایی منطقه مورد مطالعه در استان چهارمحال و بختیاری و کشور ایران
Figure 1. Geographical location of the case study in Chahar Mahal and Bakhtiari province and Iran country

اساس بهترین و جامع‌ترین روش میانیابی انتخاب و با به کارگیری سامانه اطلاعات جغرافیایی (GIS)، نقشه‌های پهنه‌بندی خشکسالی هیدرولوژیکی و هواشناسی ترسیم گردید.
شاخص منبع آب زیرزمینی^۱

در سال ۲۰۰۸ شاخص GRI با ویژگی‌های انعطاف‌پذیر و دارای اعتماد برای پایش، پیش‌بینی وضعیت خشکسالی و مدل‌سازی برای منطقه مدیترانه توسط مندسینو و همکاران ارائه شد. از قابلیت مهم این شاخص همیستگی بالا با متوجه روانان در بعضی از رودخانه‌های حوضه برای پیش‌بینی خشکسالی‌های رخ داده در فصل تابستان می‌باشد. برای محاسبه این شاخص از رابطه‌ی ذیل بهره گرفته می‌شود (۱۸).
رابطه (۱):

$$GRI_{y,m} = \frac{D_{y,m} - \mu_{D,m}}{\sigma_{D,m}}$$

$GRI_{y,m}$: ارزش شاخص در ماه m از سال y. $D_{y,m}$: ارزش سطح ایستابی در ماه m از سال y. $\mu_{D,m}$: میانگین داده‌های سطح ایستابی ماه m برای D سال. $\sigma_{D,m}$: انحراف معیار داده‌های سطح ایستابی ماه m برای D سال

برای بررسی خشکسالی هواشناسی از داده‌های بارش مربوط به ۷ ایستگاه باران سنجی در طول دوره‌ی آماری مشترک ۱۳۷۹-۱۳۹۵ و برای بررسی خشکسالی هیدرولوژیکی از داده‌های مربوط به ۲۰ حلقه چاه پیزومتری در مقیاس زمانی ماهانه، سالانه در طول دوره‌ی آماری مشترک ۱۳۷۱-۱۳۹۴ استفاده شد. همچنین برای بررسی خشکسالی آب زیرزمینی از ۹ مقیاس زمانی ۳، ۴، ۱۸، ۱۲، ۹، ۶ و ۲۴ ماهه و سالانه استفاده شد و ضرایب شاخص منبع آب زیرزمینی با استفاده از نرم‌افزار Excel تعیین شد. به‌منظور آزمون همگنی داده‌ها و رفع نواقص آماری از آزمون ران تست و آزمون کلوموگروف-امسینوف در محیط نرم‌افزار SPSS استفاده شد. در ادامه از نرم‌افزار DIP برای برآورد شاخص بارش استاندارد (SPI) استفاده گردید. شاخص منبع آب زیرزمینی (GRI) نیز با استفاده از فرمول نویسی در نرم افزار Excel محاسبه شد. همچنین برای پهنه‌بندی خشکسالی هیدرولوژیکی و هواشناسی در ابتدا نرمال‌سازی داده‌ها صورت گرفت و سپس با روش میان‌یابی وزنی فاصله معکوس (IDW) و کریجینگ درون‌یابی پارامترها انجام شد. برای ارزیابی روش‌ها از آزمون ارزیابی متقابل استفاده شد. بر این

جدول ۱- طبقه‌بندی حالت‌های خشکسالی هیدرولوژیک به روش شاخص (GRI) (۱۸)
Table 1. Hydrological drought states classification by GRI index method

مقادیر شاخص	طبقات خشکسالی
> .	بدون خشکسالی
-۰/۹۹ تا ۰	خشکسالی ملایم
-۱/۴۹ تا -۱	خشکسالی متوسط
-۱/۹۹ تا -۱/۵	خشکسالی شدید
≤ -۲	خشکسالی بسیار شدید

گاما کمک گرفته می‌شود. SPI اگر مثبت باشد نشان دهنده آن است که بارندگی از بارش متوسط بیشتر و اگر منفی باشد عکس آن می‌باشد. همانطور که گفته شد خشکسالی هنگامی رخ می‌دهد که SPI به طور مداوم منفی و مقدارش -۱ یا کمتر باشد و زمانی تمام می‌شود که SPI مثبت شود.
رابطه (۲):

$$SPI = \frac{X_{i,j} - X_{i,m}}{\sigma}$$

$X_{i,j}$ بارندگی ماه j درایستگاه i میانگین ۳۰ ساله بارندگی ماههای سال و σ انحراف معیار می‌باشد.

شاخص بارش استاندارد^۱
شاخص SPI توسط مکی و همکاران (۱۷) در دانشگاه ایالتی کلرادو تدوین و ثبت شد. پایه‌ی آن احتمالات بارندگی برای مقیاس‌های زمانی مختلف است. محاسبه‌ی این شاخص در هر منطقه بر حسب بارندگی‌های طولانی مدت صورت می‌گیرد. در ابتدای کار توزیع آماری مناسب، برروی داده‌های طولانی مدت بارندگی برآش داده می‌شود بعد از آن تابع تجمعی توزیع با بکارگیری احتمالات مساوی به توزیع نرمال تبدیل می‌شود. بدین گونه مقادیر استاندارد شده و متوسط آن برای هر منطقه و دوره صفر شده و در این صورت از توزیع

جدول ۲- طبقه‌بندی حالت‌های خشکسالی هواشناسی به روش شاخص (SPI) (۲۳)
Table 2. meteorological drought states classification by SPI index method

وضعیت خشکسالی	حدوده	حالات
خیلی خیلی مرطوب	$2 \leq SPI$.
خیلی مرطوب	$1/5 \leq SPI < 2$	۱
مرطوب متوسط	$1 \leq SPI < 1/5$	۲
نزدیک به نرمال	$-1 \leq SPI < 1$	۳
خشکسالی متوسط	$-1/5 \leq SPI < -1$	۴
خیلی خشک	$-2 \leq SPI < -1/5$	۵
خیلی خیلی خشک	$SPI < -2$	۶

مختلف است. بدین صورت در مقیاس‌های زمانی مختلف ۳، ۱۲، ۱۸، ۲۴ و ۴۸ ماهه و سالانه شاخص GRI دارای بیشترین مقدار در چاه شن‌شوی بوده و در مقیاس زمانی ۳ ماهه بیشترین مقدار در چاه شن‌شوی بوده است.

نتایج و بحث
تحلیل خشکسالی آب زیرزمینی با استفاده از شاخص GRI
برای بررسی خشکسالی آب زیرزمینی از ۹ مقیاس زمانی ۳، ۶، ۹، ۱۲، ۱۸، ۲۴ و ۴۸ ماهه و سالانه استفاده شد. مقیاس‌ها، نشان‌دهنده تفاوت شدت خشکسالی در چاههای

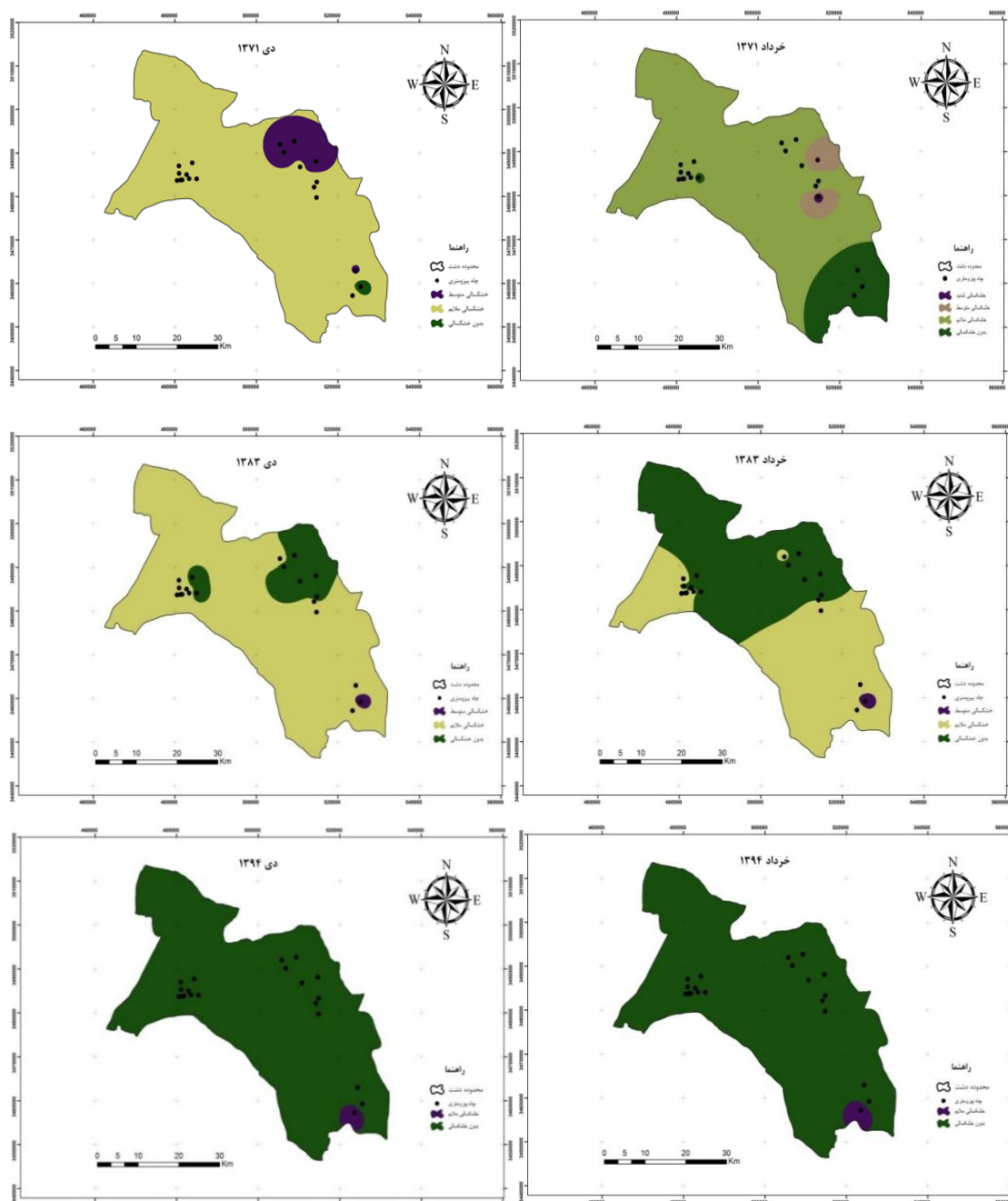
جدول ۳- شدیدترین مقادیر GRI در چاههای مورد مطالعه

Table 3. The most severe GRI values in studied wells

مقیاس زمانی									نام چاه
سال/نه (سال)	۴۸ ماهه (ماه، سال)	۲۴ ماهه (ماه، سال)	۱۸ ماهه (ماه، سال)	۱۲ ماهه (ماه، سال)	۹ ماهه (ماه، سال)	۶ ماهه (ماه، سال)	۳ ماهه (ماه، سال)		
-۱/۲۳ (۸۶-۱۳۸۵)	-۲/۴۵ (آذر ۱۳۸۶)	-۲/۶۳ (آبان ۱۳۸۷)	-۲/۷۷ (تیر ۱۳۸۸)	-۲/۸۱ (تیر ۱۳۸۹)	-۲/۶۷ (خرداد ۱۳۸۰)	-۲/۸۷ (دی ۱۳۸۵)	-۳/۳ (مهر ۱۳۸۵)	ابو سحاق	
-۱/۴۱ (۷۲-۱۳۷۱)	-۱/۳۶ (مرداد ۱۳۷۴)	-۱/۴۶ (فروردين ۱۳۷۳)	-۱/۵۳ (اسفند ۱۳۷۲)	-۱/۶۶ (دی ۱۳۷۲)	-۱/۷۲ (دی ۱۳۷۲)	-۱/۷۹ (آبان ۱۳۷۲)	-۱/۸۹ (مرداد ۱۳۷۲)	آلونی	
-۰/۸۶ (۷۲-۱۳۷۱)	-۱/۴۷ (تیر ۱۳۷۵)	-۱/۸ (اسفند ۱۳۷۲)	-۱/۹۳ (اسفند ۱۳۷۲)	-۱/۹۴ (بهمن ۱۳۷۲)	-۲ (بهمن ۱۳۷۲)	-۲/۰۶ (اسفند ۱۳۷۲)	-۲/۱۷ (دی ۱۳۷۲)	بلا احمد	
-۰/۲ (۷۲-۱۳۷۱)	-۱/۵۷ (مهر ۱۳۸۶)	-۱/۸۱ (بهمن ۱۳۷۲)	-۱/۹۶ (شهریور ۱۳۷۲)	-۲/۰۶ (خرداد ۱۳۷۲)	-۱/۹۹ (آبان ۱۳۷۲)	-۲/۴۸ (فروردين ۱۳۷۲)	-۲/۸ (اسفند ۱۳۷۸)	برآفتاب	
-۱/۶۷ (۷۲-۱۳۷۱)	-۱/۲۲ (مرداد ۱۳۷۴)	-۱/۵۸ (فروردين ۱۳۷۳)	-۱/۷ (فروردين ۱۳۷۳)	-۱/۹۱ (بهمن ۱۳۷۲)	-۲ (آبان ۱۳۷۲)	-۲/۱۸ (مرداد ۱۳۷۲)	-۲/۳۱ (خرداد ۱۳۷۲)	بی جویی	
-۱/۷۳ (۷۲-۱۳۷۱)	-۱/۵۹ (دی ۱۳۷۵)	-۱/۶ (بهمن ۱۳۷۳)	-۱/۶۱ (تیر ۱۳۷۳)	-۱/۷ (اسفند ۱۳۷۲)	-۱/۷۱ (دی ۱۳۷۲)	-۱/۷۲ (مهر ۱۳۷۲)	-۱/۷۵ (تیر ۱۳۷۲)	د علی ده رشید	
-۱/۵۸ (۷۲-۱۳۷۲)	-۱/۵۲ (دی ۱۳۷۵)	-۱/۶۴ (بهمن ۱۳۷۲)	-۱/۶۸ (تیر ۱۳۷۲)	-۱/۸۶ (بهمن ۱۳۷۲)	-۱/۸۷ (دی ۱۳۷۲)	-۱/۹۱ (دی ۱۳۷۲)	-۱/۹۴ (آبان ۱۳۷۲)	نزدیک گوداری	
-۱/۷۳ (۷۲-۱۳۷۲)	-۱/۴۵ (خرداد ۱۳۷۵)	-۱/۷۷ (مرداد ۱۳۷۳)	-۲/۰۲ (تیر ۱۳۷۳)	-۲/۲۲ (بهمن ۱۳۷۲)	-۲/۲۷ (بهمن ۱۳۷۲)	-۲/۲۸ (آذر ۱۳۷۲)	-۲/۲۸ (دی ۱۳۷۲)	جاده نرکان	
-۱/۳۸ (۷۲-۱۳۷۱)	-۱/۶۸ (اسفند ۱۳۷۵)	-۱/۹۴ (دی ۱۳۸۶)	-۱/۹۴ (بهمن ۱۳۸۶)	-۲/۲۵ (اسفند ۱۳۷۲)	-۲/۴۷ (آذر ۱۳۷۲)	-۲/۶۷ (آذر ۱۳۷۲)	-۲/۸۴ (آبان ۱۳۷۲)	خسروآباد	
-۱/۱۶ (۷۲-۱۳۷۲)	-۱/۲۵ (خرداد ۱۳۶۹)	-۱/۲۶ (مرداد ۱۳۶۹)	-۱/۲۸ (بهمن ۱۳۶۶)	-۱/۲۴ (خرداد ۱۳۶۷)	-۱/۳ (فروردين ۱۳۶۷)	-۱/۳۵ (بهمن ۱۳۶۷)	-۱/۶۳ (بهمن ۱۳۷۳)	هلو ده صحراء	
-۱/۲ (۷۲-۱۳۷۱)	-۱/۱۱ (فروردين ۱۳۷۵)	-۱/۲۶ (ازدیبهشت ۱۳۷۳)	-۱/۳ (دی ۱۳۷۲)	-۱/۳۱ (بهمن ۱۳۷۲)	-۱/۳۴ (دی ۱۳۷۲)	-۱/۳۶ (آبان ۱۳۷۲)	-۱/۴۳ (مهر ۱۳۷۱)	مردان	
-۱/۹۱ (۷۲-۱۳۷۲)	-۱/۵۷ (بهمن ۱۳۷۵)	-۱/۹ (دی ۱۳۷۳)	-۱/۱۲ (تیر ۱۳۷۳)	-۲/۳۴ (بهمن ۱۳۷۲)	-۲/۴ (بهمن ۱۳۷۲)	-۲/۴۶ (بهمن ۱۳۷۲)	-۲/۵۳ (دی ۱۳۷۲)	نادری	
-۱/۶۴ (۷۲-۱۳۷۲)	-۱/۶۶ (دی ۱۳۷۵)	-۱/۷۱ (بهمن ۱۳۷۳)	-۱/۶۹ (آذر ۱۳۷۲)	-۱/۸۱ (بهمن ۱۳۷۲)	-۱/۸۵ (دی ۱۳۷۲)	-۱/۸۳ (مهر ۱۳۷۲)	-۱/۹ (تیر ۱۳۷۲)	شمال لردگان	
-۱/۷ (۷۲-۱۳۷۲)	-۱/۶ (شهریور ۱۳۷۵)	-۱/۹۱ (بهمن ۱۳۷۳)	-۲/۰۱ (مرداد ۱۳۷۲)	-۲/۲۷ (بهمن ۱۳۷۲)	-۲/۳۵ (آذر ۱۳۷۲)	-۲/۴۶ (آذر ۱۳۷۲)	-۲/۵۴ (مهر ۱۳۷۲)	مشاهده ای لردگان	
-۰/۸۳ (۹۵-۱۳۹۴)	-۲/۰۱ (خرداد ۱۳۹۵)	-۲/۰۱ (شهریور ۱۳۹۳)	-۱/۹۵ (آبان ۱۳۹۲)	-۲/۰۶ (شهریور ۱۳۹۳)	-۲/۱۸ (اسفند ۱۳۹۱)	-۲/۱۳ (اسفند ۱۳۷۲)	-۲/۷۶ (بهمن ۱۳۷۲)	قرح	
-۱/۴۶ (۷۲-۱۳۷۲)	-۱/۳۱ (ازدیبهشت ۱۳۷۵)	-۱/۵۱ (آذر ۱۳۷۳)	-۱/۶۳ (مرداد ۱۳۷۲)	-۱/۷۴ (اسفند ۱۳۷۲)	-۱/۷۸ (بهمن ۱۳۷۲)	-۱/۷۸ (آبان ۱۳۷۲)	-۱/۸ (شهریور ۱۳۷۲)	سنج چن	
-۱/۷ (۷۲-۱۳۷۲)	-۱/۳۸ (مهر ۱۳۷۵)	-۱/۶۸ (مهر ۱۳۷۳)	-۱/۸۸ (تیر ۱۳۷۳)	-۲/۱۶ (اسفند ۱۳۷۲)	-۲/۲۴ (آذر ۱۳۷۲)	-۲/۳۱ (آذر ۱۳۷۲)	-۲/۳۹ (مهر ۱۳۷۲)	سه راهی میلاس	
-۲/۴۷ (۷۲-۱۳۷۲)	-۲/۳۹ (آبان ۱۳۷۵)	-۲/۶۲ (فروردين ۱۳۷۴)	-۲/۸۷ (مهر ۱۳۷۳)	-۳/۲ (ازدیبهشت ۱۳۷۳)	-۴/۴ (اسفند ۱۳۷۲)	-۴/۵۲ (بهمن ۱۳۷۲)	-۴/۶۲ (دی ۱۳۷۲)	شش شویی	
-۱/۵۹ (۷۲-۱۳۷۱)	-۱/۵ (آبان ۱۳۷۵)	-۱/۵۴ (دی ۱۳۷۳)	-۱/۵۲ (تیر ۱۳۷۳)	-۱/۵۷ (دی ۱۳۷۲)	-۱/۸۳ (آبان ۱۳۷۲)	-۱/۸۵ (مرداد ۱۳۷۲)	-۲/۲۶ (ازدیبهشت ۱۳۷۲)	شش بهره	
-۱/۶۷ (۷۲-۱۳۷۱)	-۱/۲۷ (شهریور ۱۳۷۵)	-۱/۵۳ (خرداد ۱۳۷۳)	-۱/۷ (بهمن ۱۳۷۲)	-۱/۹۳ (بهمن ۱۳۷۲)	-۲/۰۶ (آذر ۱۳۷۲)	-۲/۱۴ (آبان ۱۳۷۲)	-۲/۱۹ (شهریور ۱۳۷۲)	تل ماران	

رسم گردید. در ابتدای دوره‌ی آماری (۱۳۷۱) خشکسالی شدید و متوسط در بخش شرق و شمال شرق دشت دیده شد در دوره‌ی میانی (۱۳۸۳) خشکسالی شدید در منطقه وجود نداشت فقط بخش کوچکی نزدیک به چاه ابواسحاق دارای خشکسالی متوسط می‌باشد و در انتهای دوره‌ی آماری (۱۳۹۴) خشکسالی شدید و متوسط در منطقه دیده نمی‌شود. گستره شدت خشکسالی در دوره‌ها و سال‌های مشخص شده در شکل (۲) ارائه شد.

توزیع مکانی خشکسالی آب زیرزمینی با استفاده از شاخص GRI در محیط ArcGIS
پهن‌بندی خشکسالی آب زیرزمینی با به کارگیری شاخص GRI و همچنین با توجه به کمترین ضریب خطا از طریق وزن‌دهی عکس فاصله (IDW)^۱ استفاده شد. برای اجرا از داده‌های مقیاس ۱۲ ماهه شاخص GRI در مقیاس‌های زمانی خرداد و دی ماه سال‌های ۱۳۷۱، ۱۳۸۳ و ۱۳۹۴ استفاده شد. داده‌ها به محیط ArcGIS وارد شد سپس نقشه‌های پهن‌بندی



شکل ۲- توزیع مکانی خشکسالی آب زیرزمینی با استفاده از شاخص GRI
Figure 2. Spatial distribution of groundwater droughts using GRI index

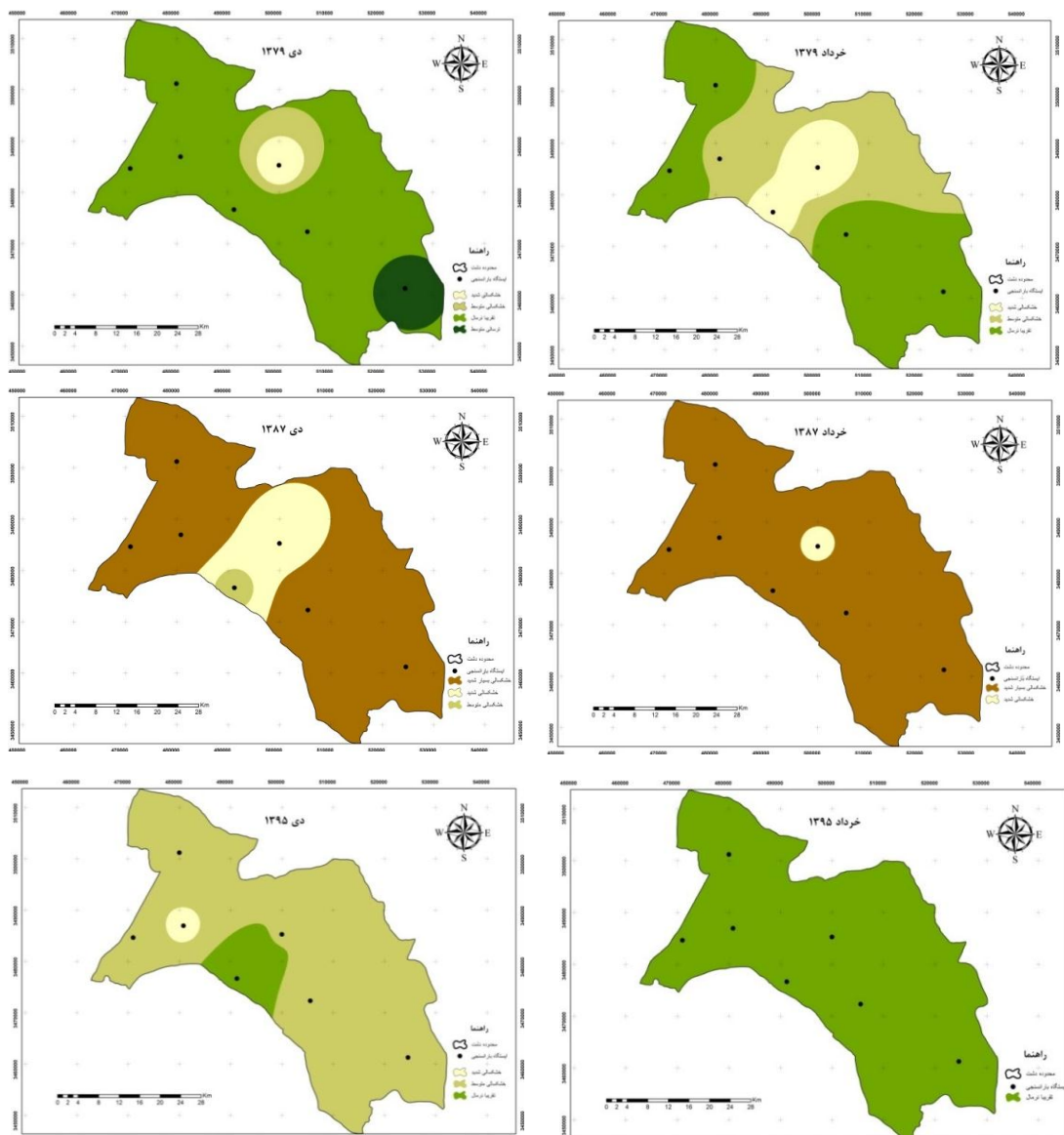
استفاده قرار گرفت و از شاخص SPI در مقیاس زمانی ۱۲ ماهه استفاده شد. ماههای خرداد و دی سال‌های ۱۳۷۹، ۱۳۸۷ و ۱۳۹۵ به عنوان ماهها و سال‌های مورد نظر برای پهنه‌بندی انتخاب شدند.

توزیع مکانی خشکسالی هواشناسی با استفاده از شاخص SPI در منطقه مورد مطالعه با توجه به جدول (۴) روش‌های kriging و IDW برای پهنه‌بندی خشکسالی هواشناسی با هم مقایسه شدند و روش IDW به دلیل ضریب خطای کمتر $^{'}\text{ME}$ و RMSE مورد

جدول ۴- ضریب خطای ME و RMSE در روش‌های kriging و IDW برای شاخص SPI

Table 4. ME and RMSE error coefficient in kriging and IDW methods using SPI index

	۱۳۹۵	۱۳۸۷	۱۳۷۹	
روش پهنه‌بندی	kriging	IDW	روش پهنه‌بندی	
دی	۰/۶۵	۰/۷۴	۰/۱۹	دی
خرداد	۰/۷۴	۰/۶۸	۰/۶۸	خرداد
دی	۱/۰۳	۰/۸۶	۱/۴۱	دی
خرداد	۰/۸۶	۱/۳۹	۰/۶۹	خرداد
دی	۰/۴۱	۰/۰۳۴	۰/۳۵	دی
خرداد	۰/۰۳۴	۰/۰۸۷	۰/۲۲	خرداد
دی	۰/۸۱	۰/۰۷۲	۱/۱۶	دی
خرداد	۰/۰۷۲	۰/۷۳	۰/۳۸	خرداد
ضریب				ضریب
ME				ME
RMSE				RMSE
ME				ME
RMSE				RMSE



شکل ۳- توزیع مکانی خشکسالی هواشناسی با استفاده از شاخص SPI
Figure 3. Spatial distribution of meteorological droughts using SPI Index

1- Mean Error

2- Root Mean Square Error

با طبقه شدید را تجربه کردند. بر اساس نتایج حاصل شده از شاخص SPI اکثر خشکسالی از طبقه مایلیم و متوسط بوده و کمتر شاهد خشکسالی شدید و بسیار شدید بودیم که با مطالعات (۲۵، ۵) مطابقت دارد. ایستگاه دهنوگرگ الله با ۱۰ مرتبه خشکسالی بسیار شدید بیشترین مرتبه را در بین دیگر ایستگاهها دارا می‌باشد. با تعیین بزرگی خشکسالی با استفاده از دو شاخص GRI و SPI، چاههای پیزومتری و ایستگاههای هواشناسی اکثرا با رخداد بزرگی خشکسالی روبه رو شدند که با نتایج (۱، ۲۵) مطابقت دارد. در جدول ۳ مشاهده می‌شود که چاه شمال لردگان با مقدار ۸۶/۷۱ بیشترین بزرگی خشکسالی مربوط به شاخص GRI و همچنین ایستگاه سردشت با مقدار ۴۲/۶۹ بیشترین مقادیر را از نظر بزرگی در بین ایستگاههای دیگر دارا می‌باشد. نتایج مربوط به بررسی شاخص‌های GRI و SPI نشان‌دهنده این دستاورده است که عمدۀ چاههای ایستگاهها خشکسالی را تجربه کردند که با نتایج (۲۵، ۲۳، ۱) مطابقت دارد. جهت بررسی نظم زمانی در رابطه با خشکسالی هیدرولوژیک و هواشناسی بین شاخص‌های SPI و GRI و همبستگی گرفته شد. بیشترین همبستگی مربوط به دوره زمانی ۳ ماهه بوده که با نتایج (۱۹) مطابقت داشت و با نتایج (۲۲، ۱) مغایرت دارد. همچنین (۱) در یافته‌های خود مقیاس ۹ و ۱۲ ماهه را به عنوان بیشترین همبستگی به دست آوردن. می‌توان دلیل مغایرت این پژوهش با نتایج آن‌ها را تفاوت در شرایط پوشش گیاهی، زمین‌شناسی، آب و هوا و ویژگی خاک منطقه بیان کرد. براساس نتایج حاصل شده از پهنه‌بندی شاخص SPI با استفاده از روش IDW (شکل ۲) در ابتدای دوره‌ی آماری (۱۳۷۱) خشکسالی شدید و متوسط در بخش شرق و شمال شرق، در دوره‌ی میانی (۱۳۸۳) نزدیک به چاه ابواسحاق خشکسالی متوسط (قسمت جنوبی دشت) و در انتهای دوره‌ی آماری (۱۳۹۴) خشکسالی شدید و متوسط در منطقه رخ نداد که با نتایج احمدی (۲) مطابقت دارد. براساس نتایج حاصل شده از پهنه‌بندی شاخص SPI با استفاده از روش IDW (شکل ۳) در ابتدای دوره‌ی آماری خشکسالی شدید و متوسط در قسمت‌های شرقی و مرکزی بروز پیدا کرده و در پی آن به کل منطقه گسترش یافته است و در نهایت به قسمت شمال غربی رسید که با نتایج (۳) مطابقت دارد.

در سال ۱۳۷۹ چیزی که مشخص گردید طبقه تقریباً نرمال بود اما در بخش میانی دشت (قسمت بردبر و قسمت سردشت) دارای خشکسالی شدید، در بخش لردگان خشکسالی متوسط و در قسمت مالخیله ترسالی متوسط دیده شد. در سال ۱۳۸۷ دشت مورد مطالعه در بخش‌های وسیعی دچار خشکسالی بسیار شدید شد و در قسمت میانی دشت (بردب) نیز خشکسالی شدید و در محدوده سردشت خشکسالی متوسط قبل مشاهده می‌باشد. در خرداد ماه سال ۱۳۹۵ کل دشت دارای خشکسالی تقریباً نرمال بود اما در دی ماه ۱۳۹۵ بخش لردگان دچار خشکسالی شدید و بخش (سردشت) دارای شرایط خشکسالی نرمال بود و بقیه‌ی دشت نیز خشکسالی متوسط را نشان می‌دهد. همانطور که در نقشه‌های گستره‌ی شدت خشکسالی مشاهده شد دشت مورد مطالعه طی دوره‌ی آماری انواع خشکسالی‌ها را تجربه کرد که در ابتدای دوره (سال ۱۳۷۹) خشکسالی در قسمت‌های میانی دشت گسترش پیدا کرد و به مرور در قسمت‌های دیگر پیدادار شد و در اواسط دوره (سال ۱۳۸۷) اکثر دشت دچار خشکسالی بسیار شدید شد و در انتهای دوره‌ی آماری (سال ۱۳۹۵) از شدت خشکسالی کاسته شد و در مدتی که مشخص است (خرداد ۹۵) دشت کاملاً نزدیک به نرمال بود و بعد از آن دچار خشکسالی متوسط شد. شکل (۳).

نتایج و بحث

در این پژوهش به منظور بررسی خشکسالی هواشناسی از ۷ ایستگاه باران‌سنگی دارای دوره‌های بارندگی ماهانه جهت برآورد شاخص SPI و برای بررسی خشکسالی هیدرولوژیکی از داده‌های تراز ۲۰ حلقه چاه به صورت ماهانه جهت برآورد شاخص GRI استفاده گردید. براساس نتایج حاصل از شاخص SPI اکثر خشکسالی‌ها در طبقه مایلیم و متوسط بوده و کمتر شاهد خشکسالی شدید و بسیار شدید بودیم که این بخش از نتایج با مطالعات (۱۸، ۱، ۲۸) مطابقت دارد. بر اساس جدول ۳ مشاهده شد که در چاههای ابواسحاق، برآفتان، جاده ده ترکان، خسروآباد، چاه نادری، مشاهده‌های لردگان، قره، سهراهی میلاس، شن‌شوی خشکسالی با طبقه بسیار شدید رخ داده و به جز چاه هلود صحرا و مردان بقیه چاهها خشکسالی

منابع

1. Aghchekandi, A., K. Solaimani, M. Habibnejad and K. Shahedi. 2016. Investigation of Groundwater drought using GRI index in downstream of Haraz watershed in Mazanjan province. 2nd International Congress on the Development of Agricultural Sciences and Natural Resources. Farhangian University, Gorgan. 1-10 pp (In Persian).
2. Ahmadi Akhorme, M., A. Nohegar, M. Soleimani Motlagh and M. Taie Semiroomi. 2015. Groundwater drought investigating using SWI and GRI Indices (Case Study: Marvdasht Kharameh Aquifer). Iranian irrigation and water engineering, 6(21): 105-118 (In Persian).
3. Akbari, M. M.R. Jarge and H. Madani Sadat. 2009. Assessment of decreasing of groundwater-table using Geographic Information System (GIS) (Case study: Mashhad Plain Aquifer). Journal of Water and Soil Conservation, 16(4): 63-78 (In Persian).
4. Askari, M., A. Mosaedi, A.A. Dehghani and M. Meftah halghi. 2009. Application of geostatistics and gis analysis, in study of groundwater quality spatial variability, case study: Qazvin Plain. First International Conference on Water Resources Management, Industrial University of Shahrood. Shahrood. 1-6 pp (In Persian).
5. Azizi, Gh. 2003. The relationship between recent droughts and groundwater resources in Qazvin plain. Geographic Research Journal, 46: 131-143 (In Persian).
6. Beheshtirad, M. 2014. Drought monitoring in Kerman province using DI index and its zoning with statistical methods. Journal Management System, 16: 149-158 (In Persian).

7. Bhuiyan, C. 2004. Various Drought indices for monitoring drought condition in aravalli terrain of india. Proceedings of the XXth ISPRS Conference, 907-912 pp., Istanbul.
8. Choi, M., M.J. Jacobs, M.C. Anderson and D.D. Bosch. 2013. Evaluation of drought indices via remotely sensed data with hydrological variables. *Journal of Hydrology*, 465: 265-273.
9. Ekrami, M. Z.A Sharifi, H. Malekinezhad and M.R Ekhtesasi. 2011. Investigating the groundwater quality and quantity variations trend case study: Yazd-Ardakan Plain, 2000s. *Health Sunrise*, 10(3-4): 82-91 (In Persian).
10. Ezzine, H., A. Bouziane and D. Ouazar. 2014. Seasonal comparisons of meteorological and agricultural drought indices in Morocco using open short time-series data. *International Journal of Applied Earth Observation and Geoinformation*, 26: 36-48.
11. Ghremohammadloo, M and A. Zare. 2018. Study of Groundwater Quality of Saydan Farooq Plain for Agricultural Use. 2st National Conference on Knowledge and Technology of Agricultural Sciences, Natural Resources and Environment of Iran. Institute for the Development of Knowledge and Technology Iranian Sam. Tehran. 1-9 pp (In Persian).
12. Khan, S., H.F. Gabrie and T. Rana. 2008. Standard precipitation index to track drought and assess impact of rainfall on water tables in irrigation areas. *Irrigation Drainage System*, 22(2): 159-177.
13. Kiakianian, M., H. Hajimohammadi and F. Rasooli. 2014. Monitoring and zoning of drought condition in Kashan using standardized Precipitation Index (SPI). 1st National Conference on Sustainable Management of Soil and Environmental Resources, Shahid Bahonar University, Kerman. 1-9 pp (In Persian).
14. Kim, D.W., H.R Byun and K. Seonchoi. 2009. Evaluation, Modification and application of the effective drought index to 200- year drought climatology of seoul,korea. *Journal of Hydrology*, 37 (1-2): 1-12
15. Mahdavi, R., J. Abedi Koupaee, M. Rezaee and M. Abdolhasani. Site selection for artificial feeding of groundwater using GIS and RS. 2004. 2nd Students Conference on Soil and Water Resources. Shiraz University. Iran. 1-11 pp (In Persian).
16. Masoudi, M. and S. Barzegar. 2004. Assessment and Mapping of Qualitatative and Quantitative Severity Degradation of Groundwater Resources using the Modified IMDPA Desertification Model and GIS. A Case Study: Firuzabad Plain of Fars province. *Iran irrigation and water engineering*, 5(20): 86-95 (In Persian).
17. McKee, T.B., N.J. Doesken and J. Kleist. 1993. The relationship of drought frequency and duration to time scales. 8th Conference of Applied Climatology, 179-184. Aneheim.
18. Mendicino, G., A. Senatore and P. Versace. 2008. A groundwater resource index (GRI) for drought monitoring and forecasting in a mediterranean climate. *Journal of Hydrology*, 282-302.
19. Mofidipoor, N., V. Sheikh, M. Ownegh and A. Sadodin. The Analysis of Relationship between Meteorological and Hydrological Droughts in Atrak Watershed. *Journal of Watershed Management Research*, 3(5): 16-26 (In Persian).
20. Mohammadi, M., H. Moradi amd M. Vafakhah. 2012. Spatial Distribution and Relationship between Meteorological Droughts and Groundwater in Arak Plain. *Natural Geographic Quarterly*, 5(15): 77-84 (In Persian).
21. Mohammadi, S., F. Naseri and H. Nazaripour. 2018. Investigating the temporal variation and meteorological drought effect on groundwater resources in Kerman plain using SPI and GRI indices. *Ecohydrology*, 5(1): 11-22 (In Persian).
22. Moradi, H., A. Sepahvand and M. Khazayi. 2009. Assessment of meteorological and hydrological drought by using the modified SPI index and SDI (Case study: Khorramabad watershed). 5th National Conference on Science and Engineering Iranian Watershed. 1-10 pp., Karaj, Iran.
23. Nalbantis, I. 2008. Evaluation of a Hydrological Drought index. *European Water*, 23(24): 67-77.
24. Roshun, H. and M. Habibnejad Roshan. 2018. Monitoring of Temporal and Spatial Variation of Groundwater Drought using GRI and SWI Indices (Case Study: Sari-Neka Plain). *Journal of Watershed Management Research*, 9(17): 269-279 (In Persian).
25. Shakiba, A., B. Mirbagheri and A. Kheiri. 2010. Drought and its impact on groundwater resources in the East Kermanshah province. *Geography (Journal of Geographical Society of Iran)*, 105-124 (In Persian).
26. Tabatabaeefar, M., Gh, Zehtabian. M. Rahimi and Sh. Nikoo. 2014. Study of temporal and spatial variations of groundwater quality and quantity in Garmsar Plain. *Journal of Desert Ecosystem Engineering*, 3(4):91-102 (In Persian).
27. Tsakiris, G., D. Pangalou and H. Vangelis. 2007. Reginal Drought Assessment based on the Reconnaissance Drought index (RDI). *Water Resources Management*, 21: 821-833.
28. Yasamani, S., H. Mohammadzadeh and A. Mosaedi. .2012. Investigation of drought effect on groundwater table changes in Torbat Jahr Fariman Plain using SPI and GRI indices. 16th Symposium of Geological Society of Iran, Shiraz University, Shiraz, 1-7 pp (In Persian).
29. Zhang, Z., X. Chen, Y.X. Chong, Y. Hong, J. Hardy and Z. Sun. 2015. Examining the influence of river-lake interaction on the drought and water resources in Poyang Lake basin. *Journal of hydrology*, 522: 510-521.

Investigation of the Relationship between Groundwater Variations and Drought Using SPI and GRI Indices in Lordegan Plain

Sayed Abdoulreza Musavi¹, Karim Solaimani², Fatemeh Shokrian³ and Sayed Hussein Roshun⁴

1- Graduated M.Sc. Student, Watershed Management Engineering Department, Sari Agricultural Sciences and Natural Resources University

2- Professor, Watershed Management Engineering Department, Sari Agricultural Sciences and Natural Resources University

3- Assistant Professor, Watershed Management Engineering Department, Sari Agricultural Sciences and Natural Resources University (Corresponding author:shokrian.f@gmail.com)

4- Ph.D. Student, Watershed Management Engineering Department, Sari Agricultural Sciences and Natural Resources University

Received: February 16, 2019 Accepted: November 11, 2019

Abstract

Groundwater resources as one of the most important sources of water supply for agricultural, drinking and industrial sectors are very emphasis in our country. Agricultural activities have a very high contribution in harvesting of groundwater aquifers. So, today, irregular extraction of these sources caused to decrees the quantitative and qualitative aquifers characteristics. The aim of this study was to investigate the effect of meteorological drought on groundwater quality and quantity in Lordegan plain in Chaharmahal and Bakhtiari province. For this purpose, quantity and quality of groundwater data (20 piezometric wells) and precipitation data (7 rain gauge stations) from the regional water supply company of the Chaharmahal and Bakhtiari province was obtained. Then, using Run-Test and Kolmogorov-Smirnov tests, homogeneity and normality of the data were tested. In the following, the DIP software was used to estimate the standardized precipitation index (SPI). Groundwater Resource Index (GRI) was calculated using Excel formulation software. The results of this study showed that the Groundwater Resource Index (GRI) for most years was mild and moderate, and less severe and very severe droughts. Also, based on the standardized precipitation index (SPI), most droughts were mild to moderate. Thus, according to SPI and GRI indices, the plain experienced meteorological and groundwater droughts. Spatial meteorological and groundwater drought maps indicate that drought has been occurred in central and eastern, also in eastern and northeast part of plain, respectively.

Keywords: Chaharmahal and Bakhtiari Province, Groundwater Resources, roundwater Resources Index, Lordegan Plain, Meteorological Drought